

Capitolul 8

SHA-3

8.1 Lansarea proiectului $SHA - 3$

8.1.1 Limitele funcțiilor de dispersie $SHA - 1$ și $SHA - 2$

O problemă cu cele două funcții de dispersie constă în faptul că amândouă au la bază același concept pentru procesare textelor: Merkle-Damgard. Deci orice atac reușit asupra lui $SHA - 1$ devine o falie de securitate pentru $SHA - 2$.

Observația 8.1. *Un atac forță brută asupra funcției de dispersie $SHA - 1$ necesită cel puțin 280 cicluri pentru a găsi o coliziune pe o rundă completă $SHA - 1$. Dar în february 2005 un colectiv condus de Xiaoyun Wang a dezvoltat un atac diferențial care a spart o rundă în numai 269 cicluri. Același atac a fost reluat și îmbunătățit de Martin Cochran în august 2008.*

În 2012, Mark Stevens a folosit mai multe servere cloud pentru a lansa un atac diferențial asupra lui $SHA - 1$, obținând o aproape o coliziune după 258.5 cicluri. Din estimările sale, un atac puțin modificat poate genera coliziuni complete în doar 261 cicluri.

$SHA - 2$ este considerată încă o funcție de dispersie sigură: singurele atacuri reușite care se cunosc sunt asupra lui $SHA - 2$ cu un număr redus de runde: 46-runde (varianta de 512 biți) și 41 runde (varianta de 256 biți). Au fost necesare 2253,6 cicluri pentru a sparge $SHA - 2$ pe 256 biți și 2511,5 cicluri pentru varianta de 512 biți.

Deși nu sunt anunțate atacuri reușite asupra funcției $SHA - 2$ cu număr complet de runde, este sigur că în mediul privat au fost dezvoltate mecanisme de atac care nu sunt făcute publice. Din acest motiv NIST a lansat competiția $SHA - 3$.

8.1.2 Restricții NIST

În 2006 NIST a anunțat competiția pentru o nouă funcție de dispersie standard, pe care a numit-o $SHA - 3$. Scopul nu era înlocuirea lui $SHA - 2$ (încă sigur) ci doar o alternativă

la aceasta, generată de atacurile reușite care au generat coliziunile lui $MD5$ și $SHA-0$ precum și atacurile teoretice făcute publice asupra lui $SHA-1$.

Dintre cerințele eliminatorii impuse de NIST (care au trait o bună parte din candidați).

- Performanțele funcției de dispersie trebuie să aceleași indiferent de implementare,
- Resursa consumată trebuie să fie minimă chiar dacă cantitatea de text de la intrare este mare.
- Performanțele de securitate trebuie să nu fie inferioare funcțiilor actuale de dispersie. Trebuie să reziste la atacurile cunoscute, păstrând un factor ridicat de securitate.
- Să scoată aceleași marimi de amprente ca $SHA-2$ (224, 256, 384 și 512 biți), dar să fie capabilă – la nevoie – de amprente de mărimi mai mari.
- Să reziste discuțiilor publice privind criptanaliza, atât codul sursă cât și rezultatele analizelor trebuind să fie publice (eci orice entitate interesată să le poată accesa, analiza și comenta). Orice falie de securitate găsită în timpul analizei trebuie abordată prin acoperirea ei sau reproiectare.
- Trebuie să fie scris în diverse coduri. Nu trebuie să se bazeze pe metoda Merkle-Damgard în generarea amprente finale.

La competiția $SHA-3$ s-a înscris pentru prima fază – încheiată la sfârșitul lui 2008 – 51 candidați. În iulie 2009 au fost calificate pentru al doilea rund 14 algoritmi, iar numai 5 au trecut în faza a treia (finală) începută în decembrie 2010. Este declarat câștigător în decembrie 2012 algoritmul Keccak.

8.2 Prezentare $SHA-3$

8.2.1 Noțiuni preliminare

Vom folosi notațiile din standardul FIPS PUB 202.

1. Permutări $KECCAK-p$:

O permutare $KECCAK-p$ este definită prin doi parametri:

- (a) Lungimea (fixată) a șirurilor care se permută, numită ”adâncimea permutării”.
- (b) Numărul n de iterații (*runde*) ale unei transformări interne.

Se notează cu $KECCAK-p[b, nr]$ o permutare $KECCAK-p$ cu nr runde și adâncime b ; ea este definită pentru orice ântreg pozitiv nr și $b \in \{25, 50, 100, 200, 400, 800, 1600\}$.

O rundă a unei permutări $KECCAK-p$ (notată Rnd) este formată din cinci transformări secvențiale sau *pași* (”step mappings” în original). Permutarea este specificată printr-o ”*stare*”.

2. Stare

Starea unei permutări $KECCAK-p[b, nr]$ este un tabel de b biți, la care se asociază alte două valori: $w = b/25$ și $l = \log_2(b/25)$. Cele trei variabile pot lua șapte valori, listate în tabelul de mai jos:

b	25	50	100	200	400	800	1600
w	1	2	4	8	16	32	64
l	0	1	2	3	4	5	6

Starile vor fi reprezentate prin tablouri de biți de dimensiune $5 \times 5 \times w$.

- Dacă S este o secvență care reprezintă starea, atunci biții săi vor fi indexați sub forma

$$S = S[0] || S[1] || \dots || S[b-2] || S[b-1].$$

- Dacă \mathbf{A} este un tablou $5 \times 5 \times w$ de biți care reprezintă starea, atunci indicii sunt triplete (x, y, z) , $0 \leq x < 5$, $0 \leq y < 5$, $0 \leq z < w$ de coordonate. Bitul de coordonate (x, y, z) va fi notat $\mathbf{A}[x, y, z]$.

Conversii:

- *Conversia șirurilor în tablouri de stare:*

$$A[x, y, z] = S[w(5y + x) + z].$$

- *Conversia tablourilor de stare în șiruri:*

Pentru fiecare pereche $(i, j) \in [0, 5) \times [0, 5)$, definim șirul $Lane(i, j)$ prin $Lane(i, j) = A[i, j, 0] || A[i, j, 1] || A[i, j, 2] || \dots || A[i, j, w-2] || A[i, j, w-1]$.

Pentru fiecare întreg $j \in [0, 5)$ definim șitul $Plane(j)$ prin $Plane(j) = Lane(0, j) || Lane(1, j) || Lane(2, j) || Lane(3, j) || Lane(4, j)$.

Atunci

$$S = Plane(0) || Plane(1) || Plane(2) || Plane(3) || Plane(4).$$

Grafic, un tablou de stare este un paralelipiped de dimensiune $5 \times 5 \times w$. Cele 5 componente pe axele Ox, Oy sunt numerotate în ordine: 3 – 4 – 0 – 1 – 2 (axa Ox , de la stânga spre dreapta, respectiv axa Oy de jos în sus).

În acest fel, linia de w biți corespunzătoare coordonatelor $(0, 0, z)$ este o axă centrală a paralelipipedului.

3. Transformări:

Cele cinci transformări (pași) care formează o rundă din $KECCAK-p[b, nr]$ sunt notate $\theta, \rho, \pi, \chi, \iota$.

Fiecare transformare modifică un tablou de stare A într-un tablou A' de aceeași dimensiuni.

Pasul ι are un parametru suplimentar de intrare – *indexul de rundă* i_r . Celelalte transformări nu depind de indexul de rundă.

- **Transformarea θ :** $\theta(A) = A'$ unde:

- (a) $\forall (x, z) \in [0, 5) \times [0, w)$, fie
 $C[x, z] = A[x, 0, z] \otimes A[x, 1, z] \otimes A[x, 2, z] \otimes A[x, 3, z] \otimes A[x, 4, z]$.
- (b) $\forall (x, z) \in [0, 5) \times [0, w)$, fie
 $D[x, z] = C[((x - 1)) \bmod 5, z] \otimes C[(x + 1) \bmod 5, (z - 1) \bmod w]$.
- (c) $\forall (x, y, z) \in [0, 5) \times [0, 5) \times [0, w)$, fie
 $A[x, y, z] = A[x, y, z] \otimes D[x, z]$.

Efectul transformării θ este xor-area fiecărui bit de stare cu paritățile a două coloane din stare.

În particular, pentru bitul $A[x_0, y_0, z_0]$, a x -coordonată a unei coloane este $(x_0 - 1) \bmod 5$ cu aceeași z -coordonată z_0 , în timp ce x -coordonata celeilalte coloane este $(x_0 + 1) \bmod 5$, cu z -coordonata $(z_0 - 1) \bmod w$.

- **Transformarea ρ :** $\rho(A) = A'$ unde:

- (a) $\forall z \in [0, w)$, $A'[0, 0, z] = A[0, 0, z]$.
- (b) $(x, y) = (1, 0)$.
- (c) **for** $t = 0, 23$ **do**
 - i. $\forall z \in [0, w)$, $A'[x, y, z] = A[x, y, (z(t + 1)(t + 2)/2) \bmod w]$;
 - ii. $(x, y) = (y, (2x + 3y) \bmod 5)$.
- (d) **Return** A' .

Transformarea ρ rotește biții fiecărei linii¹ cu o mărime numită “*offset*”, care depinde de coordonatele (x, y) ale liniei. Pentru fiecare bit al liniei, coordonata z este modificată adăugând offset-ul (modulo mărimea liniei).

Exemplul 8.1. Tabelul următor listează offseturile fiecărei linii, calculate la Pasul (c).

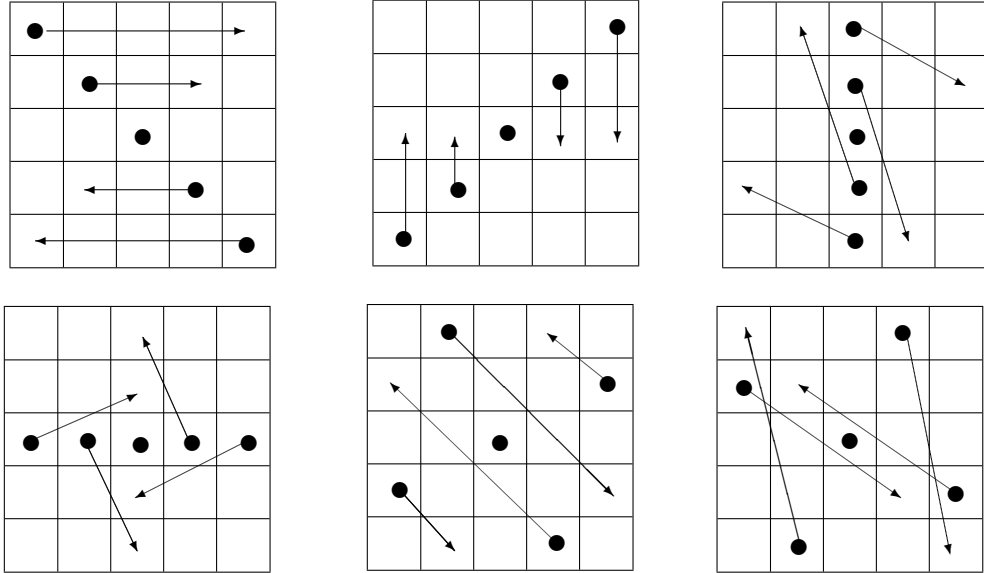
	$x = 3$	$x = 4$	$x = 0$	$x = 1$	$x = 2$
$y = 2$	153	231	3	10	171
$y = 1$	55	276	36	300	6
$y = 0$	28	91	0	1	190
$y = 4$	120	78	210	66	253
$y = 3$	21	136	105	45	15

¹O linie în starea A este un șir de biți (x_0, y_0, z) , $z = 0, 1, \dots, w$, paralel cu axa Oz

- **Transformarea π :** $\pi(A) = A'$ este definită

$$A'[x, y, z] = A[(x + 3y) \bmod 5, x, z], \quad \forall (x, y, z) \in [0, 5) \times [0, 5) \times [0, w).$$

Transformarea π rearanjează pozițiile liniilor. Mai jos este reprezentată transformarea π pentru biții unei “felii” a paralelipipedului.

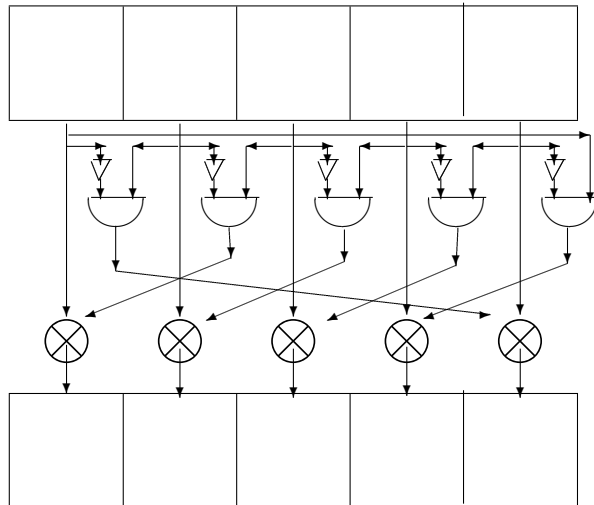


- **Transformarea χ :** $\chi(A) = A'$ este definită

$$A'[x, y, z] = A[x, y, z] \otimes ((A[(x + 1) \bmod 5, y, z] \otimes 1) \cdot A[(x + 2) \bmod 5, y, z]), \\ \forall (x, y, z) \in [0, 5) \times [0, 5) \times [0, w).$$

De remarcat că multiplicarea \cdot este de fapt operatorul logic *AND*, iar operația *XOR* cu 1 este complementarea.

Transformarea χ face un *XOR* pentru fiecare bit cu o funcție neliniară de alți doi biți aflați pe aceeași linie, ca în figură:



- **Transformarea ι :**

Este parametrizată de indexul de rundă i_r dat de Pasul 2 al Algoritmului pentru $KECCAK - p[b, n_r]$ (secțiunea următoare)

Algoritmul de calcul pentru ι folosește un LFSR entru a calcula o funcție $rc(t)$

Function $rc(t)$:

- (a) **if** $t \bmod 255 = 0$ **then return** 1.
- (b) $R = 100000000$.
- (c) **for** $i = 1, t \bmod 255$ **do**
 - i. $R = 0 || R$;
 - ii. $R[0] = R[0] \otimes R[8]$;
 - iii. $R[4] = R[4] \otimes R[8]$;
 - iv. $R[5] = R[5] \otimes R[8]$;
 - v. $R[6] = R[6] \otimes R[8]$;
 - vi. $R = Trunc_8[R]$.
- (d) **Return** $R[0]$.

Algorithm $\iota(A, i_r) = A'$

- (a) $A'[x, y, z] = A[x, y, z], \forall (x, y, z) \in [0, 5) \times [0, 5) \times [0, w)$.
- (b) $RC = 0^w$.
- (c) **for** $j = 0, l$ **do** $RC[2^j 1] = rc(j + 7i_r)$.
- (d) $A'[0, 0, z] = A'[0, 0, z] \otimes RC[z], \forall z \in [0, w)$.

Folosind parametrul de rundă i_r și funcția rc dată de LFSR, algoritmul determină $l + 1$ biți ale unei constante de rundă, notată RC . Această constantă modifică prin XOR-are valorile liniei centrale din stare.

Toate celelalte 24 linii nu sunt modificate de transformarea ι .

8.2.2 Funcția $KECCAK - p[b, n_r]$

Fiind date un tablou de stare A și un index de rundă i_r , funcția de rundă Rnd este compunerea celor cinci transformări prezentate mai sus:

$$Rnd(A, i_r) = \iota(\chi(\pi(\rho(\theta(A)))), i_r)$$

Permutarea $KECCAK - p[b, n_r]$ constă din n_r iterații ale funcției Rnd aplicată unei secvențe de b biți;

$$\mathbf{KECCAK} - \mathbf{p}[b, n_r](\mathbf{S}) = \mathbf{S}'$$

1. Transformă S într-un tablou de stare A ;
2. **for** $i_r = 12 + 2l - n_r, 12 + 2l - 1$ **do** $A = Rnd(A, i_r)$.

3. Transformă A într-un șir de biți S

4. **Return** S .

Observația 8.2. Familia de permutări $KECCAK-f$ definită în documentul original este un caz particular al familiei $KECCAK-p$:

$$KECCAK-f[b] = KECCAK-p[b, 12+2l].$$

Deci permutarea $KECCAK-p[1600, 24]$ care stă la baza celor șase funcții $SHA-3$ este echivalentă cu $KECCAK-f[1600]$.

8.3 Construcția Sponge

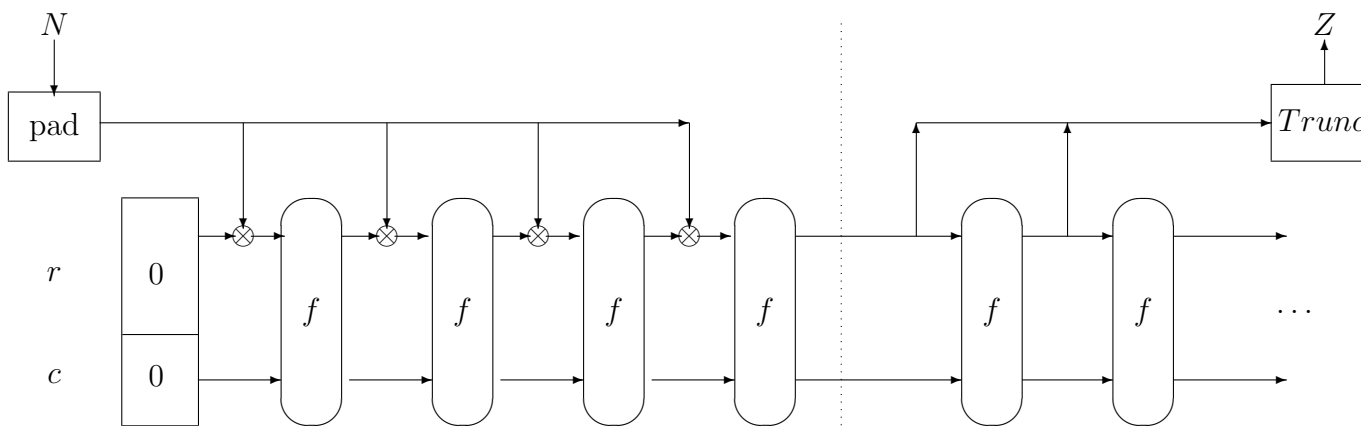
Construcția Sponge este varianta folosită de $SHA-3$ similar construcției Merkle-Damgard în $MD5$ și $SHA-1$. Termenul “sponge” (burete) sugerează ideea de a “absoarbe” date și apoi a le “stoarce” într-o formă nouă, de lungime fixată.

Construcția este formată din trei componente:

1. O funcție de bază f pentru șiruri de lungime fixată;
2. Un parametru r numit “rată”;
3. O regulă de completare numită “pad”.

Funcția rezultată din aceste componente se numește *funcție sponge* $SPONGE[f, pad, r]$. Ea are la intrare doi parametri: un șir de biți N de lungime arbitrară, și lungimea d a secvenței rezultate: $SPONGE[f, pad, r](N, d)$.

Construcția funcției $Z = SPONGE[f, pad, r](N, d)$ este ilustrată de schema:



Funcția f transformă un șir de b biți în altă secvență de aceeași lungime; similar notației de la stare, w este “adâncimea” lui f . Funcția $SHA-3$ definită mai jos este bazată pe instanțieri ale construcției $SPONGE$ în care funcția f este o permutare (deci inversabilă).

Rata r este un întreg pozitiv cu restricția $r < b$. “Capacitatea” – notată cu c este definită prin $c = b - r$.

Regula de completare pad este o funcție definită de condiția: $\forall x > 0, m \geq 0, pad(x, m)$ este un șir binar cu proprietatea $m + |pad(x, m)|$ se divide cu x .

În cadrul construcției *SPONGE* $x = r$ și $m = |N|$, deci șirul de intrare completat prin pad poate fi separat în secvențe de câte r biți. Acest lucru se realizează cu algoritmul $SPONGE[f, pad, r](N, d)$, care primește la intrare șirul N și o valoare întreagă nenegativă d . Ieșirea este un șir Z de lungime d .

SPONGE[f, pad, r](N, d):

1. $P = N || pad(r, |N|)$;
2. $n = |P|/r$;
3. $c = b - r$;
4. Se construiește secvența (unică) P_0, P_1, \dots, P_{n-1} de șiruri de lungime r astfel ca $P = P_0 || \dots || P_{n-1}$;
5. $S = 0^b$;
6. **for** $i = 0, n - 1$ **do** $S = f(S \otimes (P_i || 0^c))$;
7. $Z = \lambda$ (șirul vid);
8. $Z = Z || Trunc_r(S)$;
9. **if** $d \leq |Z|$ **then return** $Trunc_d(Z)$;
10. $S = f(S)$; **goto** 8.

Observația 8.3. Intrarea d determină numărul de biți pe care îi scoate Algoritmul *SPONGE*, dar nu afectează valorile lor. Teoretic, ieșirea poate fi privită ca o secvență infinită de biți al cărei calcul este oprit în momentul în care se obține numărul de biți solicitat.

Funcția de completare pad – care scoate un șir $P = 10^*1$, astfel ca $m + |P|$ se divide cu x – se definește astfel:

Algorithm $pad(x, m)$:

1. $j = (-m - 2) \bmod x$;
2. **Return** $P = 1 || 0^j || 1$.

8.4 KECCAK

KECCAK este familia de funcții SPONGE (definite prima oară în [1]) cu permutarea $KECCAK - p[b, 12 + 2l]$ ca funcție de bază și cu *pad* ca regulă de completare. Ea este parameterizată de orice alegere a valorilor r (rata) și c (capacitatea) astfel ca $r + c \in \{25, 50, 100, 200, 400, 800, 1600\}$ (valorile solicitate pentru b).

Când se adaugă restricția $b = 1600$, familia *KECCAK* se notează $KECCAK[c]$ și valoarea lui r se deduce direct din c . În particular,

$$KECCAK[c] = SPONGE[KECCAK - p[1600, 24], pad, 1600 - c].$$

Deci, fiind dat un șir de biți N și o lungime de ieșire d ,

$$KECCAK[c](N, d) = SPONGE[KECCAK - p[1600, 24], pad, 1600 - c](N, d).$$

8.5 Specificațiile funcției de dispersie *SHA* – 3

Fiind dat un mesaj M se definesc patru funcții de dispersie *SHA* – 3:

$$\begin{aligned} SHA3 - 224(M) &= KECCAK[448](M||01, 224); \\ SHA3 - 256(M) &= KECCAK[512](M||01, 256); \\ SHA3 - 384(M) &= KECCAK[768](M||01, 384); \\ SHA3 - 512(M) &= KECCAK[1024](M||01, 512). \end{aligned}$$

În fiecare caz lungimea amprentei este dublată (adică $c = 2d$), iar șirul de intrare în $KECCAK[c]$ este $N = M||01$.

Sufixul 01 este introdus pentru a separa diversele domenii de utilizare ale funcției de dispersie (actuale sau viitoare), cum ar fi de exemplu funcțiile *SHAKE*:

$$\begin{aligned} SHAKE128(M, d) &= KECCAK[256](M||1111, d), \\ SHAKE256(M, d) &= KECCAK[512](M||1111, d). \end{aligned}$$

8.6 Securitate

După publicarea standardului *SHA* – 3 estimările de securitate stabilite până acum (2015) sunt:

Funcție	Mărime Ieșire	Coliziune	Preimage	2nd Preimage
SHA-1	160	< 80	160	$160 - L(M)$
SHA-224	224	112	224	$\min(224, 256 - L(M))$
SHA-256	256	128	256	$256 - L(M)$
SHA-384	384	192	384	384
SHA-512	512	256	512	$512 - M $
SHA3-224	224	112	224	224
SHA3-256	256	128	256	256
SHA3-384	384	192	384	384
SHA3-512	512	256	512	512
SHAKE 128	d	$\min(d/2, 128)$	$\geq \min(d, 128)$	$\min(d, 128)$
SHAKE 256	d	$\min(d/2, 256)$	$\geq \min(d, 256)$	$\min(d, 256)$

La atacurile contra a doua primagine pentru un mesaj M s-a folosit funcția $L(M) = \lceil \log_2(|M|/B) \rceil$, unde B este lungimea blocului de lucru în biți ($B = 512$ pentru SHA-1, SHA-224, SHA-256 și $B = 1024$ pentru SHA-512).

8.7 Concluzie

Per total, Keccak este o alegere bună pentru atandardul $SHA - 3$. Este rapid, face o distribuție uniformă a biților, rezistă la atacurile obișnuite de coliziune. Dar suntem încă la început.

Bibliografie

- [1] G. Bertoni, J. Daemen, M. Peeters, G. Van Assche – *The KECCAK reference*, Version 3.0, January 2011,
<http://keccak.noekeon.org/Keccak-reference-3.0.pdf>.
- [2] SHA-3 Standard: Permutation-Based Hash and Extendable-Output Functions. FIPS PUB 202
- [3] <http://www.drdobbs.com/security/keccak-the-new-sha-3-encryption-standard/240154037>
- [4] http://keccak.noekeon.org/specs_summary.html
- [5] http://ws680.nist.gov/publication/get_pdf.cfm?pub_id=919061